



(11) RO 126977 B1

(51) Int.Cl.

G09B 23/30 (2006.01).

G02B 27/02 (2006.01).

G03H 1/22 (2006.01)

(12)

## BREVET DE INVENTIE

(21) Nr. cerere: **a 2011 00293**

(22) Data de depozit: **04.04.2011**

(45) Data publicării mențiunii acordării brevetului: **30.05.2013** BOPI nr. **5/2013**

(41) Data publicării cererii:  
**30.12.2011** BOPI nr. **12/2011**

(73) Titular:  
• **MANU MARIANA DANIELA**,  
STR.PETRE ISPIRESCU, BL.A 3, SC.B,  
ET.7, AP.1, IAȘI, IS, RO;  
• **PLEŞU GHEORGHE**,  
STR.NICOLAE GANE NR.9, IAȘI, IS, RO

(72) Inventatori:  
• **MANU MARIANA DANIELA**,  
STR.PETRE ISPIRESCU, BL.A 3, SC.B,  
ET.7, AP.1, IAȘI, IS, RO;  
• **PLEŞU GHEORGHE**, STR.NICOLAE  
GANE NR.9, IAȘI, IS, RO

(56) Documente din stadiul tehnicii:  
**US 20100002311 A1; US 20040189934 A1;**  
**CN 201638451 U; WO 2009129829 A1**

(54) **MODEL DIDACTIC DE APARAT OPTIC MONOCULAR**

Examinator: ing. DEACONU ANCA



Orice persoană are dreptul să formuleze în scris și motivat, la OSIM, o cerere de revocare a brevetului de inventie, în termen de 6 luni de la publicarea mențiunii hotărârii de acordare a acesteia

RO 126977 B1

1 Inventia se referă la un model didactic de aparat optic monocular, destinat evidențierii  
2 studiului ochiului și mecanismului vederii umane.

3 Sunt cunoscute câteva aparate care explică formarea pe retină a imaginii, conform  
4 Teoriei Fotografice a vederii și modelului de ochi redus Gulstrand (Emil I. Toader, *Aparate*  
5 *Optice*, 1995; Dimoftache C, Herman Sonia, 1996), cum sunt: camera obscură, aparatul  
6 fotografic simplu, aparatul pentru studiul viciilor de refracție, folosit în învățământul de  
7 oftalmologie/biofizică, ochiul artificial, folosit ca material didactic, și ochiul bionic Argus II,  
8 folosit ca proteză oculară. Structura și principiul de funcționare al aparatului fotografic simplu  
9 sunt următoarele (Emil I. Toader, *Aparate Optice*, 1995): în locul orificiului circular al  
10 "camerei obscure", se aşază un obiectiv format dintr-o lentilă pozitivă, prevăzută cu un  
11 diafragm, un obturător cu diametrul reglabil, iar în locul geamului mat, se aşază o placă foto-  
12 grafică, care simulează macula ca suprafață plană, aşa fel ca distanța de la planul plăcii  
13 fotografice la planul lentilei să fie aproximativ egal cu distanța focală a lentilei. Lentila pozitivă  
14 este formată din mai multe sisteme lenticulare, cu scopul de a obține, la polul posterior al  
15 aparatului, o imagine clară, nedistorsionată, dar răsturnată. Ochiul Bionic sau proteza  
16 oculară Argus II este un dispozitiv creat de compania americană Second Sight Medical  
17 Products, ce combină biologia cu electronica, folosit pentru nevăzători, în oftalmologie, la:  
18 Centre Hospitalier National d'Ophthalmologie des Quinze-Vingts (Paris, Franța), Hopitaux  
19 Universitaires de Geneve (Geneva, Elveția), Manchester Royal Eye Hospital (Manchester,  
20 Marea Britanie), Moorfields Eye Hospital, (Londra, Marea Britanie), Institutul de Cercetare  
21 Oftalmologică din cadrul Universității Tübingen (Germania)  
<http://medlive.hotnews.ro/wp-content/uploads/2011/04/ochi-bionic-modificat.jpg>. Principiile  
22 de funcționare ale acestor modele de ochi bionic, care solicită "un implant retinal și purtarea  
23 de către pacient a unor ochelari de soare cu o cameră video atașată", au ajuns la un număr  
24 redus de 64 pixeli, ignorând forma maculei și poziția anatomică a lentilelor. Dar au rămas  
25 probleme de biofizică nerezolvate încă: atât ochiul bionic american, cât și modelele didactice  
26 de ochi, au la bază Teoria fotografică a vederii (H. Helmholtz, 1864) și se bazează pe o  
27 reprezentare prea schematică a globului ocular (Emil I. Toader, *Aparate Optice*, 1995). Ca  
28 exemplu în acest sens, se poate aminti ochiul schematic Helmholtz (1864), simplificat și mai  
29 mult de Laurance (1926) și Gullstrand (Emil I. Toader, *Aparate Optice*, 1995), care nu  
30 conține parametrii reali ai ochiului uman, care nu este actualizat și care consideră că pe  
31 retină se formează o imagine inversată (I. Baciu, 1977; Hăulică I, 1996; Emil I.  
32 Toader, 1995).

33 Modelele de ochi artificial, folosite ca material didactic în facultăți și oftalmologie  
34 (<http://vvrvww.livescience.com/3919-human-eye-works.html>), au componente mărite la scară,  
35 dar au numeroase probleme, cum ar fi: nu utilizează lentile (corneene) de forma corectă; au  
36 polul macular opac; lentila maculară lipsește total, pentru că se ignoră aspectul real al formei  
37 maculei (foveolei), care este numită "crater", „depresiune” sau „concavitate a liniei de profil  
38 anterioare”, la polul posterior ochiului; nu se respectă plasarea lentilei cristalin (a centrului  
39 nodal) la locul exact, respectiv, între fața anterioară a cornee și focarul acestei fețe; nu se  
40 înțelege rolul polarizării luminii și fenomenelor de interferență intraoculară și holograme  
41 retiniene, evidențiate de specialiștii actuali (Kanski J. J., 1994; Olteanu Mircea, 1989); se  
42 ignoră transformarea laser a luminii în sistemele vii, fapt dovedit și de distribuția anatomică  
43 a retinei în zone și sectoare (Grossberg, Kuperstein, 1968) conform distribuției optice a  
44 luminii în sisteme confocal sferice cu oglinzi circulare de tip THEM22 (Lengyel Bela, 1968).

45 Un alt model, ce ilustrează funcționarea ochiului uman, este cel din cererea de brevet  
46 **US 2010/0002311 A1**, în care se prezintă un model de ochi ce include o lentilă convergentă,  
47 frontală, a cărui rază a suprafeței exterioară este egală cu raza ochiului uman, o lentilă  
48 convergentă posterioară și o deschidere a diafragmei poziționată între cele două oglinzi.  
49 Această model de ochi, deși reprezintă la scară ochiul uman, cu ajutorul unui sistem de lentile,  
50 nu ține cont de rolul funcțional al tuturor componentelor ochiului uman real.

# RO 126977 B1

Problema tehnică pe care o rezolvă invenția constă în modelarea structurii anatomicice a ochiului uman și a ilustrării mecanismului de formare a imaginii, în scop didactic.	1
Modelul didactic de aparat optic monocular, care modelează structura anatomică a ochiului uman, la scara 5:1, conform invenției, înălțatură dezavantajele de mai sus, prin aceea că este constituit dintr-un sistem laser bifocal, format dintr-un soclu rezonator laser bifocal, opac la lumină, ce are rolul de a transforma lumina externă, necoerentă, în radiație coerentă, monocromatică, având dispus coaxial, la cele două poluri opuse, reprezentând polul cornean și polul macular, un sistem dioptric anterior și, respectiv, un sistem dioptric posterior, cele două sisteme menționate formând un sistem laser holografic, care are rolul de a modela imaginea, și dintr-un ax optic, în care:	3
a. sistemul dioptric anterior este alcătuit:	11
- dintr-o lentilă menisc divergentă, destinată transformării coerente, monocromatice și direcționării radiațiilor optice spre un focal propriu, dispus către polul opus al aparatului, focal care produce prima răsturnare a imaginii provenite de la sursa obiect;	13
- dintr-un diafragm prevăzut cu un orificiu, plasat între fața anteroară a lentilei și focalul acesteia, având rol de obturator intern, ce limitează modurile de oscilație a luminii incidente;	15
- dintr-un filtru de polarizare a luminii, care poate fi plasat fie în față, fie în spatele diafragmului și	17
- dintr-o lentilă biconvexă, cu un centru nodal care trebuie să fie poziționat pe axul optic al aparatului, între fața anteroară a lentilei menisc divergente și focalul ei, având rol de corectare a aberațiilor de formă, culoare și mărime a imaginii, neavând rol însă în răsturnarea imaginii;	21
b. sistemul dioptric posterior este alcătuit:	23
- dintr-o lentilă menisc divergentă cu focal propriu, orientat spre interiorul aparatului, ce are rol de a prelua imaginea de la lentila biconvexă și de a o răsturna pentru a doua oară, aceasta devenind vizibilă pe fața posterioară a lentilei ca pe un ecran, pe care se observă imaginea dreaptă, în culori, în dinamică, mult micșorată a unei surse obiect.	25
Avantajele invenției sunt următoarele:	29
- rezonatorul este ușor și se poate manevra manual;	31
- aparatul se poate compune și descompune, ca material didactic, pentru studiul lentilelor și imaginilor;	33
- structura aparatului optic monocular se bazează pe principiile tehnice actuale, ale laserilor și ale holografiei, în acord cu datele anatomicice, recente, ale ochiului uman;	35
- plasarea lentilei biconvexe în poziția naturală a cristalinului nu influențează poziția imaginii observate la poli, astfel nu cristalinul răstoarnă imaginea, ci focalul corneei;	37
- oferă pentru prima dată ocazia de a observa în mod direct poziția imaginilor pe retina ochiului uman;	39
- evidențiază existența a două sensuri de propagare a imaginii și luminii - un sens ziuă și un sens contrar noaptea, prin formarea de imagini la un pol sau altul al ochiului;	41
- aparatul poate fi perfecționat prin nanotehnologie, și astfel, se pot dezvolta proiecte de viitor pentru tehnică și medicină (ochi pentru nevăzători, ochi pentru roboti umanoizi);	43
Se dau, în continuare, două exemple de realizare a invenției, în legătură cu fig. 1...10, care reprezintă:	45
- fig. 1, model didactic de aparat optic monocular - imagine de ansamblu;	47
- fig. 2, lentila menisc divergentă (calotă sferică) de la unul dintre polii aparatului;	47
- fig. 3, diafragmul și orificiul acestuia;	47

- 1            - fig. 4, filtrul de polarizare a luminii;  
3            - fig. 5, lentila menisc divergentă (calotă sferică) de la celălalt pol al aparatului;  
5            - fig. 6, lentila biconvexă cu grosimea maximă;  
7            - fig. 7, soclul conic și elementele sale componente (fără lentile);  
9            - fig. 8, model didactic de aparat optic monocular - varianta sferică;  
11          - fig. 9, ochiul uman - detalii anatomiche;  
13          - fig. 10, model didactic de aparat optic monocular - ilustrarea principiului de  
15          funcționare laser holografic.

Structura și rolul funcțional al elementelor componente ale ochiului uman normal sunt descrise în tabelul 1 și fig. 9.

În tabelul 1, sunt redate dimensiunile reale ale componentelor ochiului uman și distanța dintre acestea, conform prof. univ. dr. Mircea Olteanu (1989).

În fig. 9, se descrie ochiul uman, organ periferic al analizatorului vizual, cu elementele structurale și funcționale.

Peretele ochiului de formă sferică/ovoidală este format din 3 tunici concentrice, coaxiale pe axul optic **ax o**. Tunica externă - sclerotica **23**, rezistentă și elastică, este suport de fixare pentru mușchii extrinseci ai ochiului **38** și se continuă la polul anterior cu cornea **26** transparentă, acoperită de membrana conjunctivală **25**. Tunica medie - coroida **22** este bogat vascularizată și asigură răcirea ochiului, menținându-l perfect funcțional la 40...42°C, iar la polul anterior, coroida se continuă cu irisul **28**/diafragm cu un orificiu central reglabil circular - pupila **29**, acestea limitând modurile de oscilație ale luminii în funcție de intensitatea luminii și permitând trecerea radiațiilor care au unghi de incidentă mic față de axul optic **ax o**.

O altă componentă este cristalinul **30**/lentilă biconvexă, cu structură de celule suprapuse ca un sistem multilenticular convergent - divergent, similar celui din sistemul holografic, plasat în mod natural între fața anteroară a cornee **26** și focalul acesteia **37**, căruia î se atribuie rol în prima răsturnare a imaginii.

Tunica internă - retina **21** este formată din retina oarbă cu pigmenti bruni închiși, care dă ochiului aspect de cameră obscură, și zona fotosensibilă a retinei - macula **34**, plasată pe axul optic ocular la polul posterior, pe care se înregistrează imaginea. Nervul optic **36** transmite imaginea spre creier.

Ochiul, fiind plasat în capsula lui Tenson **40** din cavitatea orbitală, este protejat de șocurile mecanice care pot tulbura formarea imaginii. Mușchii externi ai globului ocular **38** se prind cu un capăt pe sclerotică și cu celalalt capăt pe un inel comun la fundul orbitei, asigurând posibilitatea de mișcare (limitată) față de 3 axe de rotație și ajutând la orientarea axului optic al ochiului **ax o** spre sursa ochi **S-Ob**.

Alte aspecte anatomici particulare ce trebuie remarcate sunt legate de sistemul lenticular coaxial, fiecare componentă având anumite caracteristici, care modelează poziția imaginii pe traseul optic intraocular, din aproape în aproape. Membrana conjunctivală **25** acoperă polul anterior al ochiului întreținând umiditatea și, pe de altă parte, contribuie la polarizarea electrică ( $\pm$ ) a ochiului.

Cornica **26** are aspect de calotă sferică, transparentă, cu cavitatea de partea internă a ochiului și de lentilă menisc divergentă, cu grosimea centrală mai mică decât grosimea periferică, a cărei principală funcție este de transformare a luminii externe necoerente în lumină coerentă, monocromatică, care interferează în spatele cristalinului, dând franje de interferență. Focalul feței anteroare a cornee **37** se află în spatele cristalinului și nu în fața acestuia. Imaginea reflectată pe fața anteroară a cornee (imagine Purchinje I) este dreaptă, dar imaginea care ne interesează este imaginea refractată care trece prin focalul **37** și care

# RO 126977 B1

ar trebui să răstoarne imaginea ca orice focar. Lichidele din camera anteroară **27**, camera posterioară **24**, irisul **28** și cristalinul **30** pot corecta aberațiile de formă și culoare, primite de la cornee, redirecționând radiațiile pe direcție convergentă către un focar aflat înaintea fundului ochiului, înaintea maculei, generând franje de interferență, evidențiate de specialiști (Kanski J. J., 1995).

De observat faptul că centrul pupilei **29** și centrul nodal **31** al cristalinului sunt plasate între fața anteroară a cornee și focarul feței anteroare a cornee **37**, loc de unde nu pot răsturna imaginea primită de la cornee. Focarul feței posterioare a cristalinului **33** este plasat anatomic în spatele cornee la 1,3 mm, această față fiind mai curbată (rază 6,8 mm) decât fața anteroară (rază 10 mm) cu focarul propriu **32**, plasat în centrul ochiului.

Pacienții cu cristalin sau fără cristalin (afachie prin operație) percep imaginile tot în poziție dreaptă, deci, din locul unde este plasat cristalinul, acesta să nu poată răsturna imaginea, însă poate face corecția aberațiilor de formă, culoare și mărime a imaginii.

Macula (foveola) **34** are o formă reală de calotă sferică, de menisc divergentă, cu cavitatea spre interiorul ochiului, un diametru și o înălțime, deci are și un focar pe care l-am consemnat ca focar macular **35**, care răstoarnă imaginea a două oară. Obiectul și lumina reflectată de acesta dau o imagine externă, care se proiectează pe retină, punct cu punct, fiecărui punct obiect corespunzându-i o celulă fotoreceptoare pe maculă, cu refacerea imaginii obiectului.

Pleoapele **39** au rol de protecție la șocurile mecanice, dar și de obturator periodic (clipitul), cu rol de umidificare a polului anterior al ochiului. Irisul **28** este un diafragm cu orificiu central circular, cu aceleași dimensiuni cu macula, cu rol de obturator intern, limitând suprafața expusă la lumină a maculei, în funcție de intensitatea luminii externe.

De observat că, în literatura medicală, se utilizează termenul de „crater”, „depresiune” sau „concavitate a liniei de profil anteroare” (I. Baciu, 1977; Hăulică I, 1996; P. Cernea, 1996; Guyton, 1996), pentru forma maculei (a foveolei) retiniene, termene care au fost înlocuite cu cel care exprimă cel mai bine această caracteristică, cel de calotă sferică și menisc divergentă. Aceasta stă la baza inventiei de față, pentru că, la construirea aparatului, s-a folosit o lentilă cu aceste caracteristici (prezentată și în tabelul 1).

*Tabelul 1*

*Tabel comparativ între dimensiunile componentelor ochiului uman (scara 1:1) și dimensiunile componentelor modelului didactic de aparat optic monococular (scara 5:1), ce face obiectul prezentei invenții*

Componente	Indici de refracție $I_n$	D=diametru <sub>minim si maxim</sub> ; R=raze			Componete: G = grosime, $\hat{I}$ = înălțime	
		Formă	Scara 1:1	Scara 5:1	Scara 1:1	Scara 5:1
1.Orbită (os)	-	-	D=25 mm		-	
2. Glob ocular/ carcasa sferică	-	Sferică (sau ovoidală)	D ant-post= 23,5-24,5 mm în medie=24 mm	D ant-post • 5= 117,5-122,5 mm în medie Dant-post=120 mm	$D_{vertical} = 23,3$ mm $D_{transv} = 23,6$ mm	$D \cdot 5 = 116,5$ mm 118,0 mm ≈120 mm
3.Conjunctiva/ filtru de polarizare		Calotă sferică	D=12 mm	12 mm • 5= 60 mm	G=0,3 mm	G=0,3 mm • 5=1,5 mm

# RO 126977 B1

Tabelul 1 (continuare)

Componente	Indici de refracție $I_n$	D=diametru <sub>minim si maxim</sub> ; R=raze			Componente: G = grosime, $\hat{I}$ = înălțime	
		Formă	Scara 1:1	Scara 5:1	Scara 1:1	Scara 5:1
4.Cornea/ lentila menisc divergent (calotă sferică)	1,376	Calotă sferică	D=10 mm  Înălțime 3,1 mm	D=10 mm • 5=50 mm  Înălțime 3,1 mm x 5= 15,5 mm	$G_{central}=$ 0,5 mm	$0,5 \cdot 5=$ 2,5 mm
		Față anterioară	R=7,8 mm	7,8 mm • 5= 39 mm	$G_{periferic} =$ 1mm	$G=1 \cdot 5=$ 5mm
		Față posteroară	R=7,3 mm	7,3 mm • 5= 36,5 mm		
5.Camera anterioară	1,336	-	-		-	
6.Irisul/ diafragm	1,336	Diafragm circular	D=12 mm - distanța dintre fața posteroară a cornee și planul tangent la cristalin și iris 3,1 mm	12 mm • 5=60 mm - distanța dintre fața posteroară a lentilei 4 și planul tangent la cristalin și iris 3,1 • 5=15,5 mm	$G=0,3$ mm	$G=0,3 \cdot 5=$ 1,5 mm
7.Pupila/orificiu	-		$D_{minim}=2mm$	2 mm • 5=10 mm	$D=0,3mm$	$D=0,3 \cdot$ 5= 1,5 mm

# RO 126977 B1

*Tabelul 1 (continuare)*

Componente	Indici de refracție $I_n$	D=diametru <sub>minim si maxim</sub> ; R=raze			Componente: G = grosime, $\hat{I}$ = înălțime		1 3 5 7 9 11 13 15 17 19 21 23 25 27 29 31 33 35 37 39 41 43 45
		Formă	Scara 1:1	Scara 5:1	Scara 1:1	Scara 5:1	
8.Cristalinul/ lentila biconvexă	$I_{rc}=1,454$ $I_{ri}=1,429$ $I_{ra}=1,420$	Diametrul	D=10 mm planul central cu Cn la 5,5 mm de față posterioară a corneei	D=10 • 5=50 mm - planul central cu Cn la 5,5 • 5=27,5 mm pe față posterioară a lentilei 4	$G_{maxim}=5\text{mm}$	$G_{maxim}=5•5=25\text{mm}$	9 11 13 15 17 19 21 23 25 27 29 31 33 35 37 39 41 43 45
		Raza faței anterioare a cristalinului	R=10 mm	R=10 • 5=50 mm			
		Raza feței posterioare	R=6,8 mm	R=6,8 • 5=34 mm			
9.Camera posterioară	1,339	-	-	-	-	-	23
10. Macula (foveola)/lentila menisc divergentă (calotă sferică)		- Calotă sferică cu: -1 strat -în zona centrală -3 straturi periferice, dau forma de menisc divergent	D <sub>minim</sub> =2 mm	D <sub>minim</sub> =2 • 5=10 mm	I <sub>minim</sub> =1 mm	I <sub>minim</sub> =1 • 5=5 mm	25 27 29 31 33 35 37 39 41 43 45
			D <sub>maxim</sub> =5,6 mm - planul tangent la față posterioară a calotei sferice este la 24 mm de față posterioară a corneei	D <sub>maxim</sub> =5,6 mm • 5=28 mm -planul tangent la față posterioară a calotei este la 24 • 5=120 mm de față posterioară a lentilei menisc divergent 4	I <sub>maxim</sub> =2mm	I <sub>maxim</sub> =2 • 5=10 mm	
		Înălțime 0,5 mm 1 mm	Înălțime 0,5x5=2,5 mm 1 mm x5=5 mm				

1 În practică, a fost realizat un model experimental, la scara 5:1 față de modelul  
2 biologic (ochiul normal).

3 Din punct de vedere constructiv, modelul didactic de aparat optic monocular (conform  
4 fig. 1), destinat studiului ochiului și mecanismului vederii umane, se compune din combinația  
5 unui sistem laser bifocal 1 cu un sistem holografic.

6 Din sistemul laser bifocal 1, fac parte: la exterior, carcasa formată din două emisfere  
7 1.a și 1.b, iar la interior, soclul rezonatorul laser 2, care cuprinde, la polul anterior, un sistem  
8 dioptric anterior 18, format, la rândul său, din lentila menisc divergentă 4, diafragmul 7, cu  
9 orificiul 8, filtru de polarizare 9 a luminii, iar la polul posterior, un sistem dioptric posterior 19,  
10 care cuprinde lentila 5, cu focalul 12 și inelul de susținere 14. Sistemul holografic este format  
11 din elementele din sistemul laser bifocal 1, la care se adaugă lentila biconvexă 10.

12 La exteriorul sistemului laser, se află o carcăsă sferică, dură, cu peretele opac și  
13 compact, formată din două emisfere 1.a și 1.b, pe axul optic 13 comun, plasate la polii  
14 rezonatorului, care se înșurubează la nivelul șanțului ecuatorial 1\* și au două orificii coaxiale,  
15 circulare, transparente, cu diametre diferite, un orificiu cu diametrul mare  $D_{bază mare} = 1,1 D_{LC}$ ,  
16 la polul anterior și un orificiu circular mic cu  $D_{bază mica} = 0,9 D_{LC}$ , la polul posterior, lungimea  
17 carcasei fiind  $2,4 D_{LC}$  egală cu diametrul ( $2,4 D_{LC}$ ).

18 În interiorul carcasei, se află soclul rezonatorul laser 2 dur, în formă de trunchi de  
19 con, coaxial cu carcăsa, cu lungimea de  $L = 2,4 D_{LC}$ , aceeași poli, cu grosimea de  $0,2 D_{LC}$ ,  
20 având rol de banc de susținere a sistemului laser-holografic (format de sistemul de 3 lentile  
21 coaxiale 4, 5 și 10); la polul anterior, se află un capac 15, transparent, cu diametrul  $D = 1,14$   
22  $D_{LC}$ , cu rol de protecție mecanică a lentilei 4. La polul anterior al soclului rezonatorului, în  
23 interior, se fixează un manșon 3, conic, negru, flexibil, opac, care fixează lentila 4 și lentila  
24 biconvexă 10 (cu sau fără suport propriu), apoi se răsfrângе pe baza mare a soclului, având  
25 rol de amortizare a șocurilor mecanice. La polul posterior soclului 2, în interior, se află un  
26 manșon 3\*, transparent, dur, conic, care fixează, la un capăt, lentila biconvexă 10 și, la  
27 celălalt, fixează lentila menisc divergentă 5; deci, lentila biconvexă 10 este susținută de  
28 ambele manșoane 3 și 3\*; la polul posterior al soclului 2, se află un inel de susținere 14 care  
29 fixează lentila menisc divergentă 5, și un capac 16 mobil, de protecție mecanică a lentilei 5.  
30 Rezonatorul poate fi orientat sau direcționat cu axul optic 13 spre sursa-obiect S-Ob, prin  
31 sistemul de mobilizare 20, realizând condiția de direcționare laser spre sursa de lumină  
32 S-Ob. Sistemul de răcire al rezonatorului este aerul din camera anterioară 17 și din camera  
33 posterioară 17\*.

34 Sistemul laser are lentilele plasate la polii rezonatorului laser, ca lentila 4 și lentila 5,  
35 care au rol dublu, de transformare laser (coerentă, monocromatică, direcționare și  
36 amplificare energetică în focarele optice) și rol holografic - de formarea a hologramei optice  
37 sau a imaginii drepte, în culori, în dinamică.

38 Sistemul holografic este format din sistemul laser, la care se adaugă lentila biconvexă  
39 10, cu centrul nodal 11, care este plasat între fața anterioară a lentilei 4 și focalul 6 al  
40 lentilei 4.

41 Sistemul dioptric anterior 18, al sistemul laser - holografic, are elemente coaxiale,  
42 fiind plasat la polul anterior al rezonatorului, cu diametrul mare, are o lentilă menisc  
43 divergentă 4, mai subțire la mijloc și mai groasă la periferie, transparentă, din sticlă (silicati),  
44 calotă sferică cu diametrul  $D = 1,2 D_{LC}$ , grosimea  $G = 0,2 D_{LC}$ , cu cavitatea spre interior, către  
45 polul opus al aparatului, cu focalul virtual 6 propriu, și face transformarea coerentă,  
46 monocromatică, și direcționarea radiațiilor optice spre focalul propriu 6, dar introduce aberații  
47 de cromaticitate și sfericitate. Focalul virtual 6 al lentilei 4 produce prima răsturnare a

imaginii. Camera anteroară **17** conține aer. Diafragmul **7**, cu diametrul  $D = 1 D_{LC}$  și grosimea  $G = 0,2 D_{LC}$ , plasat în fața lentilei **10**, este prevăzut cu orificiul diafragmului **8** mai mic, cu diametrul între  $D_{minim}=0,20 D_{LC}$  și  $D_{maxim}=0,50 D_{LC}$ , cu rol de obturator intern, ce limitează modurile de oscilație ale luminii incidente. Filtrul de polarizare a luminii **9** are aspect de disc, cu diametrul  $D = 1 D_{LC}$ , grosimea  $G= 0,2 D_{LC}$ , și poate fi plasat fie în față, fie în spatele diafragmului, asigurând o lumină polarizată. Lentila biconvexă **10** are un centru nodal **11**, care trebuie să fie poziționat pe axul optic, între fața anteroară a lentilei menisc divergentă **4** și focalul **6** al acestei lentile, poziție esențială pentru formarea imaginii. Lentila biconvexă are diametrul  $D_{LC} = 1$  și grosimea  $G_{minima}= 0,1 D_{LC}$ ,  $G_{maxima}= 0,5 D_{LC}$ .

Sistemul dioptic posterior **19** al sistemului laser-holografic este format din: camera posterioară **17\***, ce conține aer, din lentila menisc divergentă **5**, ce este fixată la polul opus al rezonatorului, de inelul de susținere **14**, care are o formă de calotă sferică cu diametrul  $D= 0,35 D_{LC}$ , cu cavitatea și focal virtual propriu **12**, orientate spre interiorul aparatului. Focalul propriu **12** al lentilei **5** răstoarnă imaginea a două oară, această imagine devenind vizibilă pe fața posterioară a lentilei **5**, ca ecran pe care se observă o imagine dreaptă, în culori, în dinamică, mult micșorată, și care poate fi fotografiată; succesiunea cursivă de imagini are un aport de energie și informație optică în fiecare secundă, și corespunde vederii diurne și poate fi măsurată. Pe timp de zi, poziția sursei de lumină **S-Ob** sau imaginea externă se propagă de la sistemul dioptic anterior **18** spre sistemul dioptic posterior **19**, de la lentila **4** spre lentila **5**. Pe suprafața externă a lentilei **5**, ca un ecran (capacul **16**), se pot dispune filme de înregistrare și sisteme de transmisie a imaginii. Când sursa de lumină **S-Ob** sau imaginea emite de la polul posterior spre polul anterior, imaginea se propagă în sens invers, de la polul posterior spre polul anterior sau de la lentila **5** spre lentila **4**, iar pe suprafața externă a lentilei **4**, poate apărea imaginea mărită, fenomen ce corespunde imaginilor ce apar în somn (visuri) sau în stare de veghe.

Aparatul optic monocular însuși îndeplinește rolul de direcționare voluntară a axei optice a aparatului, cu ajutorul mâinii, către axa optică a sursei obiect, până când cele două axe se suprapun, similar cu direcționarea reflexă sau voluntară a axei ochiului uman de către mușchii externi ai globului ocular, după care se pot realiza celealte transformări laser-holografice, cu ajutorul sistemului de lentile și medii transparente. Cei doi poli transparenti ai aparatului optic permit transmiterea imaginii într-un sens, cu micșorarea imaginii de la lentila **4** către lentila **5**, ce corespunde imaginii transmise de ochiul uman, de la cornee spre maculă, dar și în sens invers, de la lentila **5** spre lentila **4**, similar cu transmiterea imaginii de la maculă spre cornee, în vise și în gândire. Aparatul dă o imagine dreaptă, similară cu imaginea dreaptă, în spatele lentilei **5**, aşa cum o percepse orice om.

Fiecare lentilă sau componentă ce intră în alcătuirea aparatului optic monocular îndeplinește un rol (a se vedea fig.10). Astfel, lentila menisc divergentă **4** reflectă o imagine dreaptă, similară cu imaginea  $H_1$  de pe cornea ochiului uman, dar produce refracție-birefringență și dispersia luminii emise de fiecare punct al sursei externe **S-Ob** în radiații monocromatice corespunzătoare aceluia punct **S-Ob**; lentila produce transformarea coerentă, când un front de undă sferic intersectează suprafața sferică a lentilei - creând un loc geometric de puncte coerente, care emit secundar lumină, toate punctele coerente fiind în aceeași fază, la aceeași distanță de sursa de emisie și de focalul optic **6** al lentilei **4**, spre care sunt direcționate aceste radiații; focalul **6** al lentilei **4** produce prima răsturnare a imaginii, dând holograma  $H_3$  în spatele lentilei **10** și prima întârziere de fază de  $n/2$ , îndeplinind funcția corneei din ochiul uman. Lentila menisc divergentă **5**, îndeplinește funcția maculei retiniene; datorită formei de calotă sferică, lentila **5** are un focal propriu **12**, ignorat

în oftalmologie, care produce a două întîrziere de fază de n/2 și a doua răsturnare a imaginii, astfel că, pe fața externă a lentilei 5, se realizează o imagine dreaptă, în culori, în dinamică; grosimea maculei retiniene fiind extrem de mică, de 1...2 mm, aspectul tridimensional 3D poate fi sesizat doar de om, senzor foarte fin, se va încerca pe viitor și o variantă tehnică, cu ajutorul nanotehnologiei, existând șanse cu filmele holografice. Lentila biconvexă 10 corespunde cristalinului din ochiul uman, și dacă este plasată ca în ochiul uman - între fața anteroară a lentilei 4 și focalul acesteia 6 - nu poate răsturna imaginea optică, dar face corecția aberațiilor de cromacitate și sfericitate, aducând toate focarele monocromatice, disperse de lentila 4, într-un singur focal, astfel că refac și lumina albă; poate apropiată sau îndepărta acest focal 6 de lentila 5, similar cu cristalinul ochiului uman, care este elastic și a căruia grosime se poate modela prin întinderea capsulei cristalinului de ligamentele Zinn; din acest motiv, se propun experimente cu lentile biconvexe de grosimi diferite. Imaginea de pe fața lentilei 10 este dreaptă și micșorată - imaginea H<sub>2</sub> din ochiul uman. Imaginea răsturnată H<sub>3</sub> din spatele cristalinului este răsturnată a două oară de către focalul lentilei 5 și dă imaginea H<sub>4</sub> dreaptă, care se observă prin transparentă, în spatele lentilei 5.

Modelul didactic de aparat optic monocular poate fi realizat în două variante: varianta rezonatorului trunchi de con (fig. 1), în care carcasa sferică (1a și 1b) poate lipsi, rămânând doar soclul, și varianta sferică (fig. 8).

Rezonatorul laser bifocal permite formarea imaginii fie la un pol, fie la altul, în funcție de poziția sursei - obiect S-ob și a observatorului. Varianta cu rezonator laser, bifocal, sferic, a aparatului (fig. 8) este forma specifică ochiului uman, fiind varianta care se poate perfecționa pentru nevăzători. În ambele variante ale sistemului laser bifocal 1, dacă la poli se află lentile menisc divergente, imaginea formată pe fața posterioară a lentilelor, ca pe un ecran, este dreaptă, nedeformată, în culori, în dinamică. Mărimea imaginii depinde de mărimea lentilei. Imaginea la lentila 5 apare mult micșorată, pe când imaginea la lentila 4 este mai mare și corespunde visurilor. Dacă aparatul are lentile menisc divergente la poli, observatorul poate fi la orice distanță față de aparat, pentru a observa imaginea formată de obiectul plasat înaintea aparatului.

În alte variante, pe fața posterioară a lentilelor sau ecranul de observație a imaginii, se poate suprapune un film holografic, sisteme de transmisie a imaginii sau o retină bionică.

Dacă focarele optice ale lentilelor 4 și 5 de la polii rezonatorului aparatului se realizează cu lentile plan convexe, în loc de lentile menisc divergente, apare o imagine dreaptă, dar deformată (aberații de formă) și, deoarece aparatul nu poate face adaptarea la distanță, pentru a observa imaginea corectă, trebuie ca observatorul să privească de la 25...30 cm distanță de polii aparatului.

Principiile de construcție ale modelului didactic de aparat optic monocular, ce face obiectul prezentei invenții, respectă condițiile tehnice laser holografice (Savii Gh., 1981; Lengyel Bela, 1968; Tarasov L.V., 1990), biofotonice (F.A. Popp, 2003) și datele anatomicice (Olteanu Mircea, 1989) și fiziologice (Kanski J. J., 1994; Olteanu Mircea, 1989; Grossberg S., Kuperstein, 1972; Munteanu Gh., 1985). Studiile de la Institutul Internațional de Biofizică Neuss Germania (Manu MD, 2007) au confirmat oficial existența substanței active laser biologice (fostat-apă-oxygen molecular) în toate celulele ochiului, substanță activă laser devenind sursă proprie de lumină a sistemelor biologice.

Membranele celulare cu două foite fosfolipidice fac posibilă transmisia luminii/bioluminiscenței în ambele sensuri și din aproape în aproape fie de la cornee spre retină, fie invers, de la retină spre cornee, în funcție de zona de maximă energie optică. Aceste lucruri justifică modelul experimental propus: sistemul laser bifocal, ca bază a aparatului optic monocular. Propagarea luminii în sens invers este posibilă la întuneric, prin des cărcarea energiei acumulate în timpul expunerii la lumină în compuși macroergici și apă, întreținând procesele biologice.

Tabelul 2

Parametrii componentelor modelului didactic de aparat optic monocular

Componente	Dimensiuni componente oculare*		Grosime componente*
Carcasa formată din două emisfere <b>1.a și 1.b</b>	Lungime = $2,4 D_{LC}$	$D = 2,4 D_{LC}$	$0,2 D_{LC}$
Soalu rezonatorului <b>2</b>	Lungime = $2,4 D_{LC}$	$D_{baza\ mare} = 1,1 D_{LC}$ $D_{baza\ mica} = 0,9 D_{LC}$	$0,2 D_{LC}$
Manșoane <b>3 și 3*</b>	Lungime= $1,2 D_{LC}$	$D_{baza\ mare} = 1,1 D_{LC}$ $D_{baza\ mica} = 0,9 D_{LC}$	$0,2 D_{LC}$
Lentilă menisc divergentă <b>4</b>	Calotă sferică	$D = 1,2 D_{LC}$	
	Fața anterioară Fața posterioară $H = 0,14 D_{LC}$	$R_1 = 0,78 D_{LC}$ $R_2 = 0,72 D_{LC}$	$G_{centrala} = 0,05 D_{LC}$ $G_{periferica} = 0,10 D_{LC}$
Lentilă menisc divergentă <b>5</b>	Fața anterioară Fața posterioară $H=0,14 D_{LC}$	$R_1 = 0,39 D_{LC}$ $R_2 = 0,29 D_{LC}$ $D_{minim} = 0,20 D_{LC}$ $D_{maxim} = 0,50 D_{LC}$	$G_{centrala} = 0,0125 D_{LC}$ $G_{periferica} = 0,0250 D_{LC}$
Diafragm		$D = 1 D_{LC}$	$0,2 D_{LC}$
Inel de susținere <b>14</b>		$D_{baza\ mica} = 0,9 D_{LC}$	$0,2 D_{LC}$
Orificiu <b>8</b>		$D_{minim} = 0,20 D_{LC}$ $D_{maxim} = 0,50 D_{LC}$	$0,04 D_{LC}$
Filtru de polarizare <b>9</b>		$D = 1 D_{LC}$	$0,05 D_{LC}$
Lentilă biconvexă <b>10</b>	Fața anterioară Fața posterioară	$R_1 = 0,70 D_{LC}$ $R_2 = 1 D_{LC}$ $D = 1 D_{LC}$ $D = 1 D_{LC}$	$G_{minima} = 0,1 D_{LC}$ $G_{maxima} = 0,5 D_{LC}$

\*Toti parametrii se raportează la diametrul lentilei biconvexe **10**, notată  $D_{LC}$ .

În fig. 2, se prezintă parametrii caracteristici lentilei menisc divergente **4** - calota sferică, de la unul dintre polii aparatului: diametrul  $D$ , înălțimea  $H$ , raza mare  $R_1$ , raza mică  $R_2$ , focalul comun al razelor de curbură **6**, grosimea la centru  $G_c$  și grosimea la periferie  $G_p$ .

În fig. 3, se prezintă parametrii caracteristici diafragmului **7**: diametrul  $D$ , raza  $R$ , grosimea  $G$ , un orificiu coaxial **8**, cu diametrul  $d$  și aceeași grosime  $G$ .

În fig. 4, se prezintă parametrii caracteristici filtrului de polarizare a luminii **9**: diametrul  $D$ , raza  $R$  și grosimea  $G$ .

În fig. 5, se prezintă parametrii caracteristici lentilei menisc divergente **5**, care este o calotă sferică, plasată la celălalt pol al aparatului, cu diametrul  $D$ , înălțimea  $H$ , raza mare  $R_1$ , raza mică  $R_2$ , focalul comun al razelor de curbură **12**, grosimea la centru  $G_c$  și grosimea la periferie  $G_p$ .

În fig. 6, se prezintă parametrii caracteristici lentilei biconvexe **10**, cu diametrul  $D$ , grosimea  $G$ , raza feței anterioare  $R_1$  și raza feței posterioare  $R_2$ , mai mică, și un centru nodal **11**.

În fig. 7, se prezintă parametrii caracteristici soclului rezonatorului laser **2**, conic, dur (fără lentile), ce are ca elemente: la polul anterior, un diametru mare **D**, protejat de manșonul **3**, elastic, negru, care susține sistemul dioptric anterior **18**; în interior, manșonul **3\*** transparent, dur, conic, plasat între lentila **10** și lentila **5**; la polul posterior, cu diametrul mic **d**, este fixat inelul **14** de susținere a lentilei **5**.

În fig. 8, este reprezentat modelul didactic de aparat optic monocular, varianta sferică, cu carcasa rezonatorului laser formată din emisferele **1.a** și **1.b**, șanțul de joncțiune **1\***, cu axul optic **13**, lentila menisc divergentă **4**, diafragmul **7**, cu orificiul **8**, filtrul de polarizare **9**, inelul de susținere **14** și lentila menisc divergentă **5**.

În fig. 10, este ilustrat principiul de funcționare laser holografic al modelului didactic de aparat optic monocular.

Aparatul nu este o lupă, nu mărește, ci, din contră, micșorează imaginea care ajunge la polul posterior al sistemului corespunzător maculei, unde se examinează imaginea. Specific acestui model este combinația unui sistem laser bifocal **1** cu un sistem holografic și posibilitatea de mobilizare a axului optic al rezonatorului pe direcția axului obiect.

Din sistemul laser bifocal, fac parte soclul rezonatorul laser **2**, lentila menisc divergentă **4** și lentila menisc divergentă **5**, sursa de lumină **S-Ob**, diafragmul **7**, cu orificiul **8** și filtru de polarizare **9** a luminii.

Sistemul holografic este format din sistemul laser, la care se adaugă lentila biconvexă **10**.

Sistemul laser bifocal este format din: soclul rezonatorului laser **2** cu doi poli, respectiv, două sisteme dioptrice, coaxiale la poli, cu focalul **6**, al lentilei **4** ce aparține sistemului dioptric anterior (S.D.A.) **18**, focal care dă holograma sau imaginea **H<sub>3</sub>** răsturnată (prima răsturnare a imaginii), și un focal **12**, al lentilei **5** din sistemul dioptric posterior (S.D.P.), care răstoarnă imaginea a doua oară, dând imaginea **H<sub>4</sub>** dreaptă, în culori, în dinamică. Sursa de lumină **S-Ob** poate fi orice punct-obiect, care emite fronturi de undă sferice, care ating lentila **4**, cu obținerea locului geometric de puncte coerente. Filtrul de polarizare **9** transformă lumina în lumină polarizată, iar radiația este descompunsă în componente monochromatice, direcționate spre focare monochromatice; raza mai mică a lentilei **5** produce direcționarea radiațiilor sub un unghi de incidentă foarte mic, de  $0^{\circ}6' - 9^{\circ}2'$ , pe suprafața sferică a acestor lentile, și deci se formează condiția laser a unui maximum de intensitate optică, necesară unei holograme clare, cât și condiția acuității maxime a vederii. Mediile de răcire, din camera anteroară și posterioară a aparatului, asigură întreținerea fenomenului laser, a transparenței necesare emisiei continue de radiații secundare de către substanța activă laser, silicatiile și aerul în cazul lentilelor, fosfatii și aerul în cazul ochiului uman. Formarea locului geometric de puncte coerente pe lentila **4**, ca urmare a interferenței fronturilor de undă emise de fiecare punct obiect cu suprafața lentilei, asigură coerența, sincronizarea efectelor secundare și formarea unei imagini de fază. Succesiunea de imagini este asigurată de succesiunea de fronturi optice ale obiectului vizat, prin stimulare continuă și amortizare rapidă a efectelor optice, prin absorția energiei și transmiterea mai departe, sub forme diferite, optice, calorice, electrice, magnetice etc. Direcționalitatea laser a aparatului este asigurată mecanic, prin mobilizare manuală, înlocuind mușchii externi ai globului ocular care orientează axul optic pe direcția sursei **S-Ob**. Diafragmul **7**, cu orificiul **8**, reprezintă obturatorul intern ce limitează modurile de oscilație optice, favorizând formarea unei imagini clare. Ceea ce trebuie să urmărim este refracția luminii prin sistemul de lentile și imaginile obținute, nu reflectia luminii. Astfel, prin refracția pe fața anteroară a lentilei menisc divergentă **4**, apare o imagine **H<sub>1</sub>**, dreaptă, în culori, în dinamică (prin succesiunea

# RO 126977 B1

a  $10^{13}$  fronturi de lumină/secundă). Lentila 4 are un focar propriu 6, care răstoarnă imaginea prima dată, dând o imagine răsturnată, holograma H<sub>3</sub>, în spatele lentilei 10, și apar aberații de formă și culoare (aberații de cromacitate și sfericitate). Pe fața anteroioară a lentilei 10, apare tot o imagine dreaptă, holograma H<sub>2</sub>. Lentila biconvexă 10, plasată între fața anteroioară a cornee și focalul cornee, nu poate să răstoarne imaginea, fapt pentru care lentila 10 poate fi prezentă sau poate lipsi, dar poate face corecția aberațiilor de cromacitate și sfericitate, și poate modifica poziția focalului optic al lentilei 4, și suprapune culorile într-un focar unic, plasat înaintea lentilei 5; lentila 10 ar trebui să aibă cel puțin trei nuclee concentrice, lenticulare (cu straturi de celule alungite), fapt posibil prin nanotehnologie și optică de clasă. Imaginea răsturnată H<sub>3</sub> este proiectată pe lentila 5 menisc divergentă, care are focar propriu, și o răstoarnă a două oară, dând imagini holografice corecte H<sub>4</sub>, drepte, în culori, în dinamică. Aparatul lucrează la lumină și permite observarea directă a imaginii la fiecare dintre polii rezonatorului laser bifocal, dat fiind că propagarea luminii (imaginii) poate avea loc în ambele sensuri. Astfel: a. imaginea care se formează la polul posterior, corespunde vederii diurne, când lumina și bioluminescența se propagă de la cornea spre maculă, iar pe retina maculară se formează o imagine dreaptă, în culori, în dinamică, tridimensională, care reprezintă obiectul punct cu punct, în relația 1:1; b. imaginea ce corespunde vederii nocturne (visele) sau viselor în stare de veghe (cu ochii deschiși) se formează la polul cornean, ca hologramă optică H<sub>1</sub>, observatorul poate vizualiza imagini drepte, în culori, în dinamică; transmisia corespunde emisiei de luminiscentă de la lentila maculară (ce corespunde transmisiei de la creier prin nervii optici) spre lentila corneană.

În concluzie, imaginea H<sub>4</sub> pe retină este o hologramă tridimensională, de fază, dreaptă, în culori, în dinamică, ca faze succesive dinamice ce reflectă mișcarea obiectului. Aceste energii se pot amplifica de-a lungul sistemului de transmisie optică. Focalul unic al S.D.A este imobil la acest aparat. Când focalul S.D.A coincide cu focalul maculei, imaginea este clară și pentru ochiul observatorului (ochi emetrop), iar focalul devine focal unic al globului ocular. Când focarele nu coincid, apare miopia, hiopermetropia sau astigmatismul.

3        1. Model didactic de aparat optic monocular, care modelează structura anatomică a  
 5        ochiului uman, la scara 5:1, **caracterizat prin aceea că** este constituit dintr-un sistem laser  
 7        bifocal (1), format dintr-un soclu rezonator laser bifocal (2), opac la lumină, ce are rolul de  
 9        a transforma lumina externă, necoerentă, în radiație coerentă monocromatică, având dispus  
 11      coaxial, la cele două poluri opuse, reprezentând polul cornean și polul macular, un sistem  
 13      dioptric anterior (18) și, respectiv, un sistem dioptric posterior (19), cele două sisteme  
 15      menționate formând un sistem laser holografic, care are rolul de a modela imaginea, și  
 17      dintr-un ax optic (13), în care:

19        a. sistemul dioptric anterior (18) este alcătuit:

21        - dintr-o lentilă menisc divergentă (4), destinată transformării coerente, monocromaticice și direcționării radiațiilor optice spre un focar propriu (6), dispus către polul opus al  
 23      aparatului, focar (6) care produce prima răsturnare a imaginii provenite de la o sursă obiect  
 25      (**S-Ob**);

27        - dintr-un diafragm (7) prevăzut cu un orificiu (8), plasat între fața anteroară a lentilei  
 29      (4) și focarul acesta (6), având rol de obturator intern, ce limitează modurile de oscilație a  
 31      luminii incidente;

33        - dintr-un filtru de polarizare a luminii (9), care poate fi plasat fie în fața, fie în spatele  
 35      diafragmului (7), și

37        - dintr-o lentilă biconvexă (10), cu un centru nodal (11) care trebuie să fie poziționat  
 39      pe axul optic (13) al aparatului, între fața anteroară a lentilei menisc divergentă (4) și focarul  
 41      (6), având rol de corectare a aberațiilor de formă, culoare și mărime a imaginii, neavând rol  
 43      însă în poziționarea (răsturnarea) imaginii;

45        b. sistemul dioptric posterior (19) este alcătuit:

47        - dintr-o lentilă menisc divergentă (5) cu focar propriu (12), orientat spre interiorul  
 49      aparatului, ce are rol de a prelua imaginea de la lentila biconvexă (10) și de a o răsturna  
 51      pentru a doua oară, aceasta devenind vizibilă, pe fața posterioară a lentilei (5), ca pe un  
 53      ecran, pe care se observă imaginea dreaptă, în culori, în dinamică, mult micșorată, a unei  
 55      surse obiect (**S-Ob**).

57        2. Model didactic, conform revendicării 1, **caracterizat prin aceea că** sistemul laser  
 59      bifocal este alcătuit:

61        - dintr-o carcă dură, cu peretele compact și opac, compusă din două emisfere (1a  
 63      și 1b) care se însurubează la nivelul unui șanț ecuatorial (1\*);

65        - din soclul (2) dispus în interiorul carcasei, în formă de trunchi de con, coaxial cu  
 67      carcasa, având rol de banc de susținere a sistemului dioptric anterior (18), a sistemului  
 69      dioptric posterior (19) și a lentilei (10), acestea alcătuind sistemul holografic;

71        - dintr-un manșon (3) conic, flexibil, opac, dispus în interiorul soclului (2), ce are rolul  
 73      de a fixa, la polul anterior, lentila menisc divergentă (4), diafragm (7), filtrul de polarizare  
 75      (9) și lentila biconvexă (10);

77        - dintr-un alt manșon (3\*) plasat în interiorul soclului (2), transparent, dur, conic,  
 79      plasat între lentila (10) și lentila (5), pe care le fixează;

81        - dintr-un inel de susținere (14) ce fixează lentila (5) la polul posterior al soclului (2);

83        - din două camere cu aer, o cameră anteroară (17) și o cameră posterioară (17\*), ce  
 85      utilizează aerul din mediu, pentru răcirea rezonatorului, și

87        - din două capace plasate la cei doi poli ai rezonatorului, un capac (15) la polul  
 89      anterior și un capac (16) la polul posterior, cu rol de protecție mecanică a lentilelor menisc  
 91      divergentă (4, respectiv, 5).

# RO 126977 B1

- |   |   |
|---|---|
| 3. Model didactic, conform revendicării 2, <b>caracterizat prin aceea că</b> sistemul laser bifocal (1) poate fi direcționat, cu ajutorul unui sistem de mobilizare (20), spre sursa-obiect (S-Ob).   | 1 |
| 4. Model didactic, conform revendicării 3, <b>caracterizat prin aceea că</b> imaginile se pot transmite în ambele sensuri pe axul optic (13), datorită transparenței celor 2 poli, astfel încât, atunci când imaginile se transmit de la lentila (4) spre lentila (5), se obține o imagine micșorată, în spatele lentilei (5), iar când imaginile se transmit în sens invers, se obține o imagine mărită, la polul opus, în spatele lentilei (4), de asemenea, dreaptă. | 3 |
|   | 5 |
|   | 7 |

# RO 126977 B1

(51) Int.Cl.

**G09B 23/30** (2006.01);

**G02B 27/02** (2006.01);

**G03H 1/22** (2006.01)

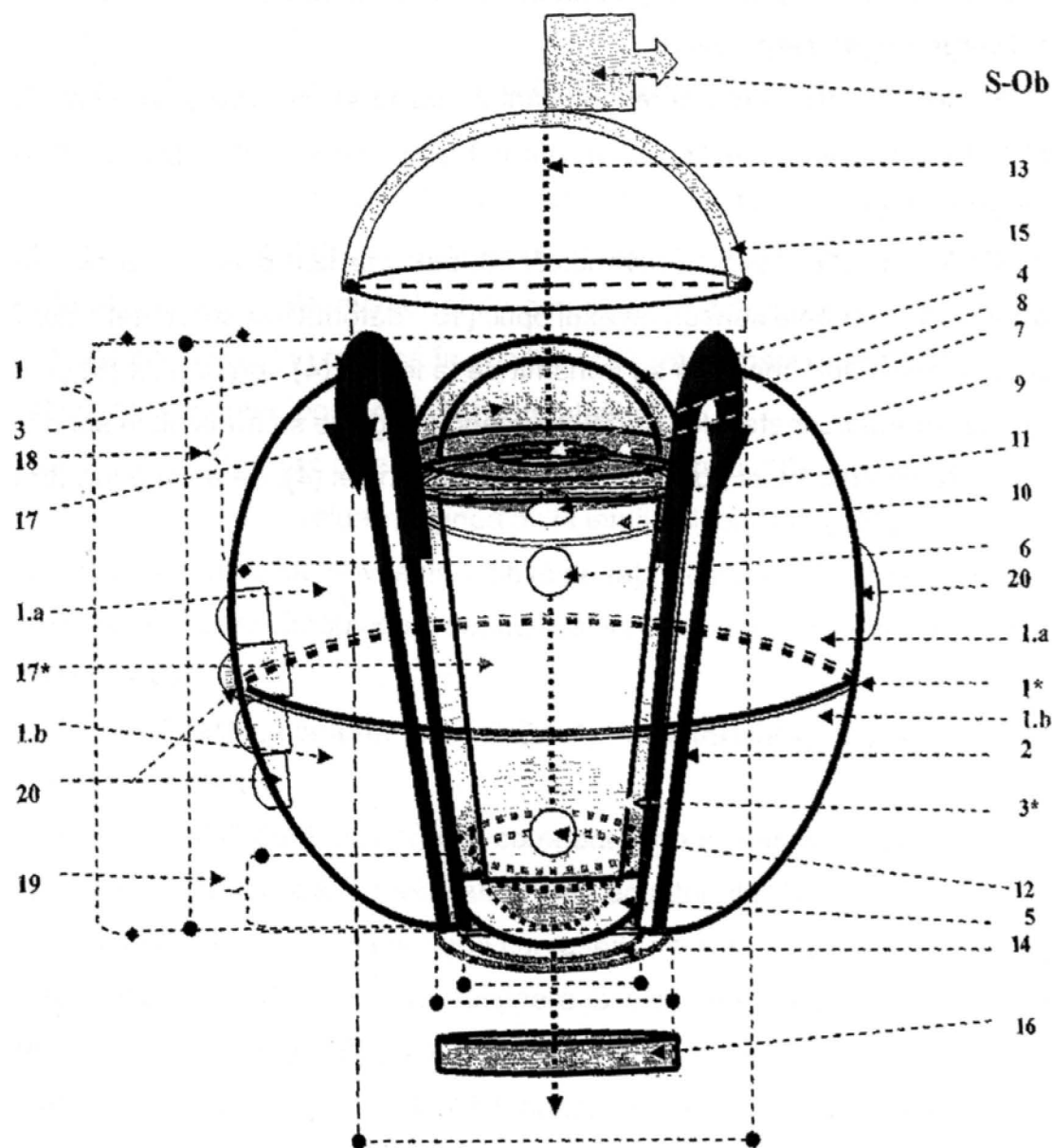


Fig. 1

# RO 126977 B1

(51) Int.Cl.

**G09B 23/30** (2006.01);

**G02B 27/02** (2006.01);

**G03H 1/22** (2006.01)

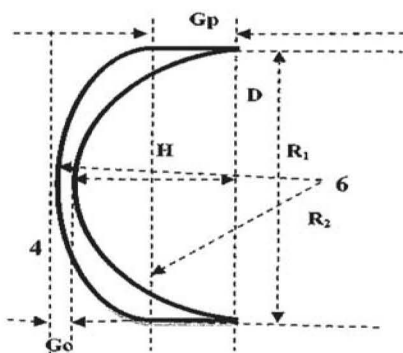


Fig. 2

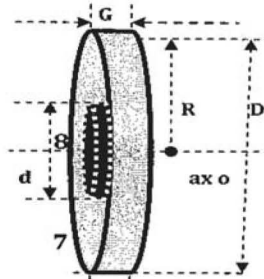


Fig. 3

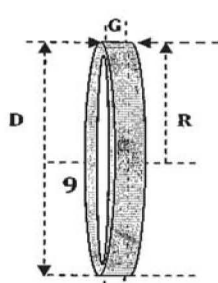


Fig. 4

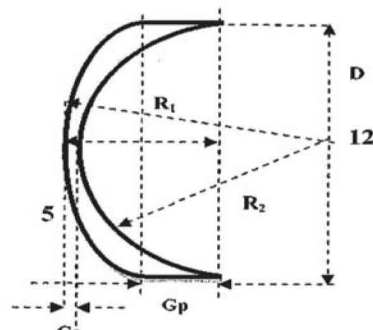


Fig. 5

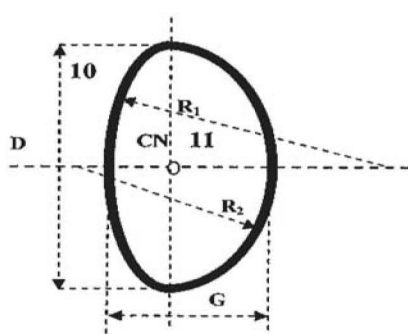


Fig. 6

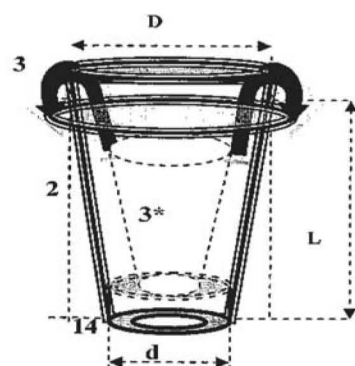


Fig. 7

# RO 126977 B1

(51) Int.Cl.

**G09B 23/30** (2006.01);

**G02B 27/02** (2006.01);

**G03H 1/22** (2006.01)

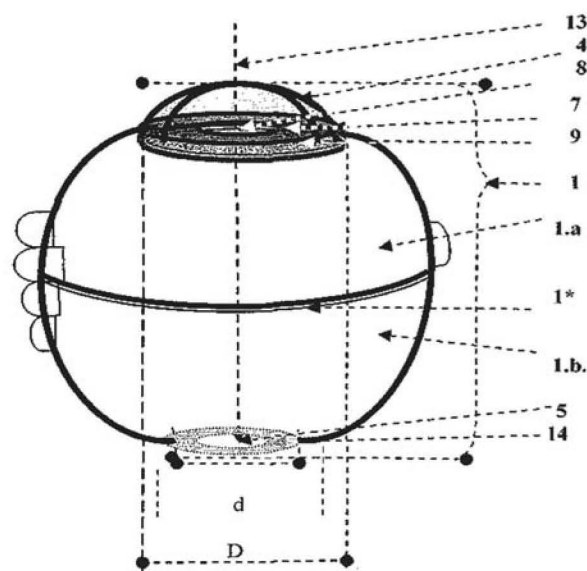


Fig. 8

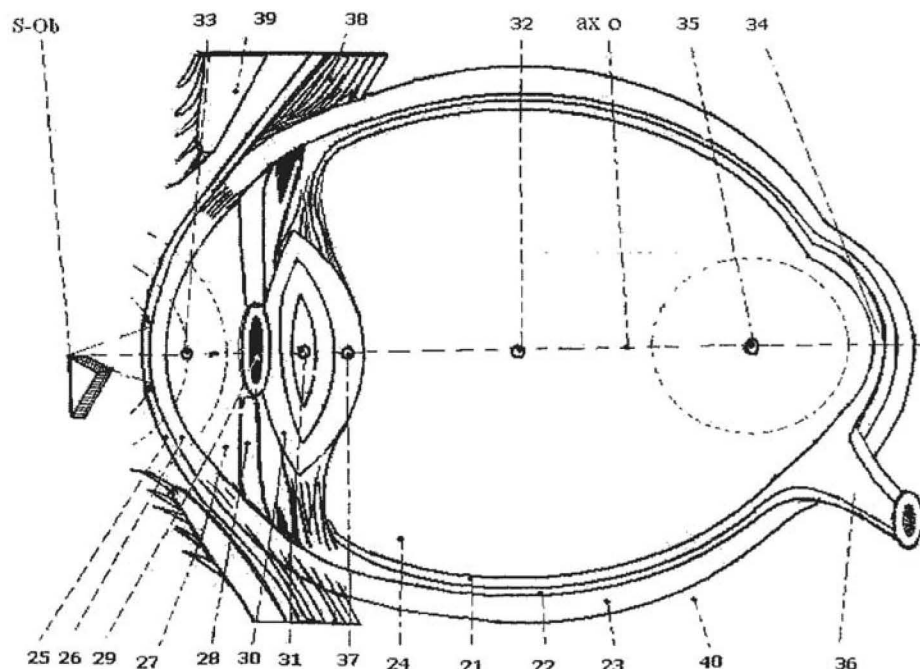


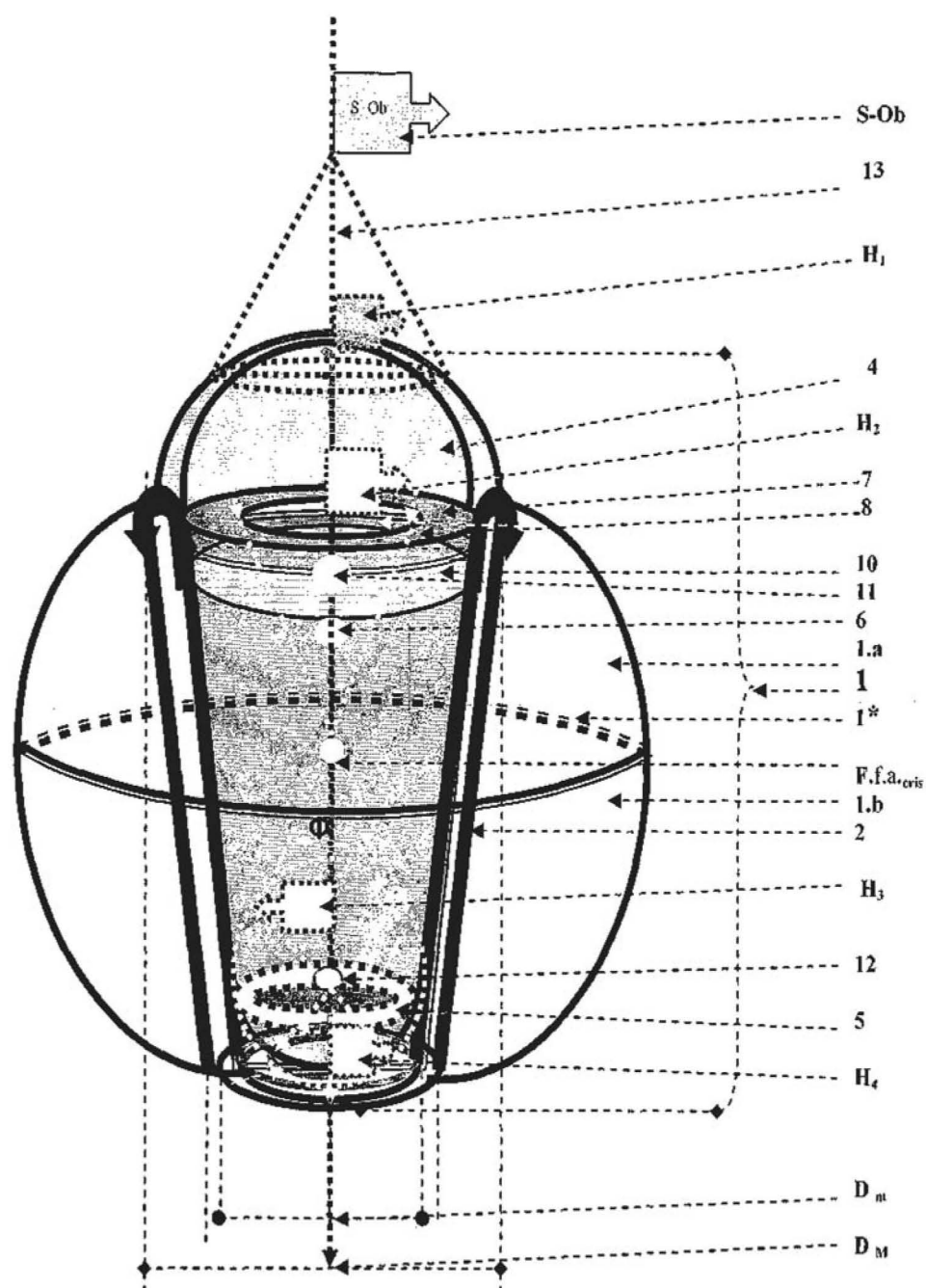
Fig. 9

(51) Int.Cl.

**G09B 23/30** (2006.01);

**G02B 27/02** (2006.01);

**G03H 1/22** (2006.01)



**Fig. 10**



Editare și tehnoredactare computerizată - OSIM  
Tipărit la: Oficiul de Stat pentru Invenții și Mărci  
sub comanda nr. 449/2013